

**ВЛИЯНИЕ НАЧАЛЬНОЙ ТУРБУЛЕНТНОСТИ ПОТОКА  
НА АЭРОДИНАМИЧЕСКОЕ СОПРОТИВЛЕНИЕ ПЛОХО ОБТЕКАЕМЫХ ТЕЛ  
С ОСТРЫМИ КРОМКАМИ**

С. М. ГОРЛИН, Г. Е. ХУДЯКОВ

(Москва)

Описывается экспериментальное определение коэффициентов сопротивления  $C_x$  призматических тел, обтекаемых потоком малой скорости при различной начальной интенсивности турбулентности  $\varepsilon$ .

Исследование аэродинамического сопротивления плохообтекаемых тел призматической формы проводилось в аэродинамической трубе А-6 Научно-исследовательского института механики Московского университета. Эта установка представляет собой одноканальную аэродинамическую трубу замкнутого типа с открытой рабочей частью эллиптического сечения. Длина рабочей части трубы 4 м. С целью уменьшения продольной составляющей начальной турбулентности потока (в обычных экспериментах этого всегда добиваются) в форкамере непосредственно перед хонеком-бом и за ним установлены специальные сетчатые детубуллизаторы. При этом критическое число Рейнольдса по шару диаметром 150 мм равнялось примерно 375 000, что соответствует начальной степени продольной составляющей турбулентности потока в рабочей части  $\varepsilon \approx 0.2\%$ .

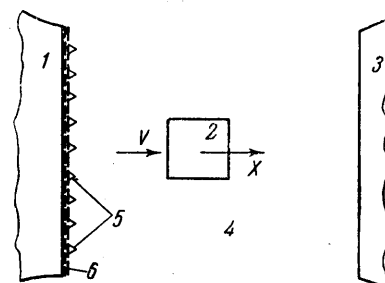
Для получения других величин начальной турбулентности на срезе сопла трубы устанавливались турбулизаторы, представлявшие собой комбинации из сеток и уголков. Установка турбулизаторов позволила в ядре потока размером 1200 × 900 мм получить величины начальной турбулентности потока  $\varepsilon = 0.5, 0.82, 5.6$  и  $10\%$ . Величина  $\varepsilon = 0.5\%$  была получена при установке на обрезе сопла сетки с размером ячеек  $13 \times 13$  мм при толщине проволоки 1.9 мм. Значение  $\varepsilon = 0.82\%$  было получено при установке внахлест двух сеток с размерами ячеек  $20 \times 20$  мм при толщине проволоки 2 мм. Величина  $\varepsilon = 5.6\%$  получалась, если на сетках с ячейкой  $20 \times 20$  мм размещались уголки ( $12 \times 12$  мм) на расстоянии 180 мм один от другого. Значение  $\varepsilon = 10\%$  получено при наложении на сетку с ячейкой  $13 \times 13$  мм восемнадцати штук уголков ( $12 \times 12$  мм и  $20 \times 20$  мм). Указанные значения интенсивности начальной турбулентности потока в рабочей части трубы А-6 являются средними значениями по двукратным измерениям при значениях скорости потока, равной 10, 20 и 30 м/сек. Особенностью указанного способа изменения начальной турбулентности, как показали измерения во всей области рабочей части, является сохранение скорости, скосов потока и интенсивности турбулентности потока вдоль рабочей части. Это позволяет поместить исследуемую модель в поток с практически постоянными значениями основных параметров. Измерение скорости потока производилось трубкой Пито — Прандтля, установленной за турбулизирующими устройствами на срезе сопла на расстоянии 1500 мм от него. Определение степени турбулентности потока производилось термоанемометром DISA с помощью зонда, установленного также на расстоянии 1500 мм от обреза сопла.

Схема установки моделей призматических тел в рабочей части аэродинамической трубы дана на фиг. 1. Здесь 1 — сопло трубы, 2 — модель призматического тела, 3 — диффузор аэродинамической трубы, 4 — рабочая часть, 5 — уголки, 6 — сетки,  $V$  — скорость,  $X$  — сила сопротивления. Определение аэродинамических характеристик моделей производилось шестикомпонентными весами АВМ-2 с ленточной подвеской модели. Коэффициент лобового сопротивления моделей определялся по формуле

$$C_x = \frac{X - X'}{qS}$$

Здесь  $X$  — сила сопротивления модели плохообтекаемого тела с подвеской,  $X'$  — сила сопротивления подвески,  $q$  — скоростной напор,  $S$  — площадь миделевого сечения тела. Число Рейнольдса  $R$  подсчитывалось по обычной формуле

$$R = Va / v$$

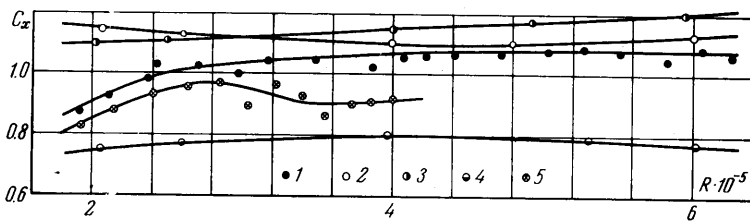


Фиг. 1

где  $V$  — скорость потока в рабочей части,  $v$  — коэффициент кинематической вязкости воздуха,  $a$  — характерный линейный размер. Числа  $R$  менялись в пределах от  $\sim 0.8 \cdot 10^5$  до  $6 \cdot 10^5$  за счет изменения скорости при каждом значении степени турбулентности потока.

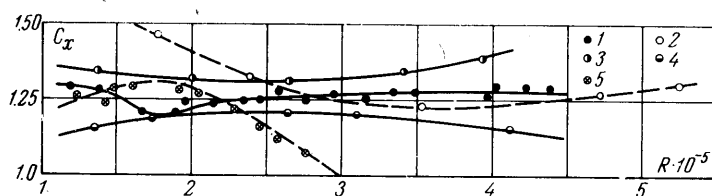
Точность опытов, как показали многократные измерения, можно оценить значением средне-квадратичной погрешности единичного измерения, равным  $\pm 3\%$ .

В экспериментах определение коэффициента лобового сопротивления  $C_x$  проводилось для двух призматических тел квадратного сечения, со стороной основания 300 мм (кубическое тело) и 200 мм (параллелепипед с удлинением  $\lambda = 5.0$ ). Расположение тел в потоке соответствовало нулевому углу атаки, при котором одна из боковых граней тела перпендикулярна вектору скорости потока в рабочей части аэродинамической трубы.



Фиг. 2

На фиг. 2 представлена зависимость коэффициента лобового сопротивления  $C_x$  для тела кубической формы в зависимости от числа Рейнольдса  $R$  и интенсивности турбулентности  $e$  потока в рабочей части (точки 1, 2, 3, 4 и 5 соответствуют значениям  $e = 0.20, 0.5, 0.82, 5.6$  и  $10\%$ ). Как видно из представленных графиков зависимости коэффициента сопротивления  $C_x = f(R, e)$ , при  $e = 0.2\%$  (поток в рабочей части специально не турбулизирован) коэффициент сопротивления принимает для тела кубической формы примерно постоянное значение с числа Рейнольдса  $R \approx 4 \cdot 10^5$ . В диапазоне чисел  $R = (1.8 \div 3.0) \cdot 10^5$  зависимость носит весьма сложный характер. Однако в области чисел Рейнольдса  $R > 2.8 \cdot 10^5$  наблюдается монотонное возрастание величины коэффициента сопротивления. Как и следовало ожидать, для моделей тел с острой кромкой кризис обтекания по числу Рейнольдса  $R$  практи-



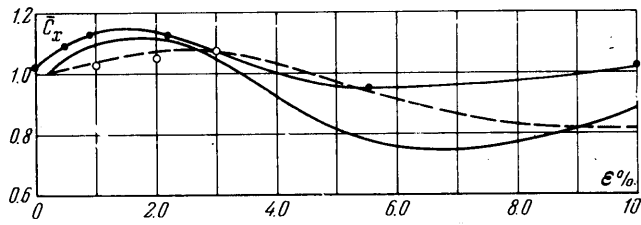
Фиг. 3

чески отсутствует. С увеличением интенсивности турбулентности  $e$  набегающего потока коэффициент сопротивления кубического тела сначала (до  $e \approx 0.8\%$ ) несколько возрастает, а затем падает. Так, при числе  $R = 4 \cdot 10^5$  коэффициент сопротивления при  $e = 0.82\%$  примерно на  $10\%$  больше, чем при  $e = 0.2\%$ . При  $e = 5.6\%$  для того же числа Рейнольдса коэффициент сопротивления меньше на  $20\%$ . При степени турбулентности  $e = 10\%$  соответствующее падение коэффициента сопротивления составляет примерно  $13\%$ .

На фиг. 3 показана зависимость коэффициента аэродинамического сопротивления  $C_x$  для призматического тела квадратного сечения с удлинением  $\lambda = 5.0$  от числа Рейнольдса для указанных выше значений интенсивности турбулентности  $e$  (обозначения на фиг. 3 соответствуют обозначениям на фиг. 2). Можно заметить, что как в малотурбулентном, так и в сильно турбулентном потоках величина коэффициента сопротивления весьма мало зависит от числа Рейнольдса  $R$ . В то же время коэффициент сопротивления призматического тела существенно зависит от степени турбулентности потока  $e$ . С возрастанием степени турбулентности набегающего потока от  $e = 0.2\%$  до  $e \approx 0.8\%$  коэффициент сопротивления призматической балки в исследованном диапазоне чисел  $R$  несколько увеличивается, но при дальнейшем возрастании  $e$  коэффициент сопротивления  $C_x$  уменьшается. Относительное уменьшение коэффициента сопротивления  $C_x$  при числе  $R = 3 \cdot 10^5$  составляет при  $e = 5.6$  и  $10\%$  соответственно  $18\%$  и  $10\%$ . В проведенных исследованиях наибольшее относительное различие в коэффициентах сопротивления при числах  $R \geq 3 \cdot 10^5$  наблюдается для  $e = 0.82\%$  и  $e = 5.6\%$ , достигая величины порядка  $40\%$ .

График на фиг. 4 иллюстрирует зависимость относительного сопротивления  $\bar{C}_x$  (отношение коэффициента сопротивления  $C_x$  к значению  $C_x$  при  $\varepsilon = 0.2\%$ ) исследованных тел от интенсивности турбулентности  $\varepsilon$  набегающего потока. Здесь сплошная линия — кубическое тело (число Рейнольдса  $R = 4 \cdot 10^5$ ) — штриховая — призматическое тело квадратного сечения с удлинением  $\lambda = 5$  (число Рейнольдса  $R = 3 \cdot 10^5$ ), «пустые» точки — установленная нормально к потоку, плоская пластинка, установленная нормально к потоку — по данным работы [2], сплошные точки — плоская пластинка, установленная нормально к потоку — по данным работы [1].

Можно заметить, что для кубического и призматических тел и также для плоской пластины по опытам работы [1] эти зависимости качественно одинаковы и носят кризисный характер по числу  $\varepsilon$ . Данные работы [2] не обнаруживают такого кризиса, что возможно объясняется малым диапазоном значений  $\varepsilon$  в опытах (до



Фиг. 4

$3\%$ ) и изменением параметров потока вдоль оси трубы. Наличие кризиса аэродинамических характеристик по числу  $\varepsilon$ , обнаруженного в работе [1] связано с изменением характера обтекания и имеет место для всех тел. Как показали эти исследования для хорошо обтекаемых тел (крыло, модель самолета и т. п.) под углом атаки при некотором возрастании интенсивности турбулентности подъемная сила увеличивается. Это происходит из-за того, что несмотря на перемещение точки перехода пограничного слоя из ламинарного в турбулентное состояние к носовой части тела, точка отрыва потока на крыле благодаря передаче энергии из набегающего потока, перемещается назад и обтекание восстанавливается на большей части крыла. С дальнейшим ростом интенсивности турбулентности набегающего потока (сверх  $2-3\%$ ) точка отрыва потока из-за срывов в носовой части быстро перемещается вперед и подъемная сила резко падает. Для модели самолета с треугольным крылом при  $\alpha = 20^\circ$  это падение при  $\varepsilon = 10\%$  составляет одну треть от подъемной силы, соответствующей  $\varepsilon = 0.2\%$ . Для плохообтекаемых тел при небольшом увеличении интенсивности турбулентности набегающего потока, зона срыва за телом расширяется, что вызывает увеличение сопротивления. С дальнейшим ростом интенсивности турбулентности срываемая зона стабилизируется или даже за счет передачи в нее энергии несколько сужается, что приводит к постоянству или уменьшению лобового сопротивления по сравнению с сопротивлением при малотурбулентном набегающем потоке.

Таким образом проведенные исследования показали, что начальная турбулентность потока в диапазоне  $\varepsilon \leq 10\%$  существенным образом влияет на сопротивление тел с острыми кромками. Изменение сопротивления за-за начальной турбулентности может превосходить изменение  $C_x$  от числа  $R$ .

Эти факты следует учитывать как при оценке сил сопротивления действующих на плохообтекаемые тела в турбулизированном потоке, так и при сопоставлении результатов опытов в аэродинамических трубах с различной начальной турбулентностью набегающего потока.

Поступило 14 VII 1968

#### ЛИТЕРАТУРА

- Горлин С. М. Влияние начальной турбулентности на обтекание различных тел. Третий Всесоюзный съезд по теоретической и прикладной механике. М., 1968 г.  
Аннотации докладов.
- Закс Н. А. Основы экспериментальной аэrodинамики. М., Оборонгиз, 1953 г.